

УДК 532.542

## ЧИСЛЕННОЕ РЕШЕНИЕ ЗАДАЧИ О ТЕЧЕНИИ ЖИДКОСТИ БИНГАМА — ПАПАНАСТАСИУ НАД ВРАЩАЮЩИМСЯ ДИСКОМ

Н. А. Хан, Ф. Султан\*

Университет г. Карачи, 75270 Карачи, Пакистан

\* Инженерно-технологический университет Надиршо Эдулджи Диншоу,  
75270 Карачи, Пакистан

E-mails: njbalam@yahoo.com, faqiha.sultan0@gmail.com

Исследуется течение жидкости Бингама — Папанастасиу, вызванное вращением бесконечного диска. Для того чтобы исключить разрывный характер определяющих соотношений в модели Бингама, в модель Бингама — Папанастасиу, являющуюся обобщением модели пластической среды Бингама, вводится параметр продолжения. С использованием автоматического решения Кармана система дифференциальных уравнений в частных производных сводится к нелинейной системе обыкновенных дифференциальных уравнений, которая решается численно. Исследуется влияние числа Бингама и параметра продолжения на радиальную, тангенциальную и осевую составляющие вектора скорости, на распределение давления, радиальный и тангенциальный коэффициенты поверхностного трения.

Ключевые слова: вязкопластическая среда, модель Бингама — Папанастасиу, вращающийся диск, решение Кармана.

DOI: 10.15372/PMTF20180409

**Введение.** Основным параметром модели вязкопластической жидкости является предел текучести. В соответствии с этой моделью материал не деформируется, если второй инвариант тензора напряжений меньше предела текучести, и деформируется, если он больше предела текучести. Определяющие соотношения зависят от характера течения. Модели пластических сред Бингама, Кэссона, Гершеля — Балкли являются моделями вязкопластических сред и содержат разрыв параметров при переходе от жесткого состояния к состоянию текучести. В случае простых течений для указанных выше сред построены аналитические решения, однако в общем случае для таких моделей возможно построение только численных решений. Процедуру построения решений можно упростить, введя в эти модели параметр продолжения, при соответствующем выборе которого можно построить автоматические решения. Экспоненциальная модель, предложенная в [1], является удачной модификацией модели Бингама. С использованием этой модели авторы работы [2], изменяя число Бингама (предел текучести), исследовали течение различных вязкопластических сред: от ньютоновской жидкости до полностью пластических сред. В работе [3] численно исследовано течение пластической жидкости Бингама в квадратной полости, обусловленное наличием градиента давления. В [4] с использованием модели Бингама —

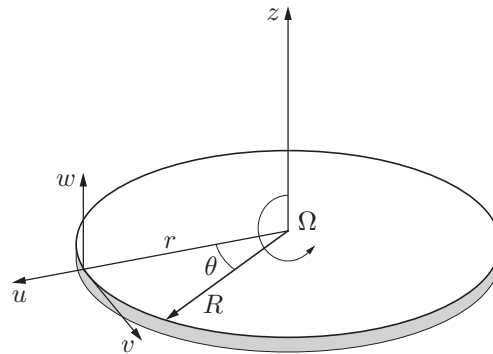


Рис. 1. Схема задачи

Папанастасиу исследовано восходящее течение вязкопластической жидкости. В работе [5] построены аналитические решения задачи об осесимметричном течении неньютоновской жидкости над вращающимся бесконечным диском. Задача о течении жидкости над вращающимся диском вызывает большой интерес исследователей, так как имеет многочисленные приложения в различных областях науки и техники. Большое количество работ посвящено изучению течения жидкости над бесконечным вращающимся диском. В работе [6] с использованием моментной теории численно исследовано течение магнитогидродинамического потока. В [7] изучено влияние магнитного поля на течение жидкости Джеффри над бесконечным вращающимся диском. В [8] рассмотрено ламинарное течение жидкости Бингама над вращающимся диском. Авторами работы [9] обобщены результаты работы [8] и получено аналитическое решение задачи о завихренном течении пластической жидкости Бингама над бесконечным вращающимся диском. В [10] найдено решение Кармана для случая течения пластической жидкости Бингама. В [11] исследовалось течение жидкости Эйринга — Пауэлла над вращающимся диском с учетом анизотропного проскальзывания. В работе [12] исследованы производство энтропии и влияние анизотропного проскальзывания на течение микрополярной жидкости над вращающимся диском.

Модель жидкости Бингама — Папанастасиу описывает течения агрегированных суспензий, примером которых является течение в илстых реках. Такое течение встречается также во многих технологических процессах.

Целью настоящей работы является исследование течения жидкости Бингама — Папанастасиу над вращающимся диском. Уравнения задачи, описывающие реологические свойства течения, с использованием автомодельных переменных сведены к системе обыкновенных дифференциальных уравнений, которые решены численно с помощью процедуры `bvp4c` пакета MATLAB.

**1. Физическая и математическая постановки задачи.** Рассматривается трехмерное установившееся ламинарное течение несжимаемой жидкости Бингама — Папанастасиу, создаваемое вращающимся диском, на который действует постоянное давление  $P_\infty$ . Диск, вращающийся с постоянной угловой скоростью  $\Omega$ , находится в плоскости  $z = 0$ . Рассматривается течение в полупространстве  $z > 0$  (рис. 1).

Уравнение неразрывности и уравнения движения несжимаемой жидкости имеют вид

$$\nabla \cdot \mathbf{V} = 0,$$

$$\rho(\mathbf{V} \cdot \nabla)\mathbf{V} = -\nabla p + \nabla \tau_{ij},$$

где  $\mathbf{V}$  — вектор скорости с компонентами  $u, v, w$ ;  $\rho$  — плотность жидкости;  $p$  — гидростатическое давление;  $\tau_{ij}$  — компоненты девиатора напряжений жидкости Бингама —

Папанастасиу:

$$\tau_{ij} = \left( \mu_p + \frac{\tau_y}{\dot{\gamma}} (1 - e^{-m\dot{\gamma}}) \right) A_1,$$

$\mu_p$  — пластическая вязкость;  $\tau_y$  — предел текучести;  $m$  — параметр продолжения;  $A_1 = \nabla \cdot \mathbf{V} + (\nabla \cdot \mathbf{V})^T$  — тензор скоростей деформаций;  $\nabla$  — дифференциальный оператор;  $\dot{\gamma}$  — второй инвариант тензора скоростей деформаций:

$$\dot{\gamma} = \sqrt{\text{tr } A^2 / 2}.$$

В цилиндрической системе координат  $(r, \theta, z)$  выражения для компонент тензора напряжений в области течения имеют следующий вид:

$$\begin{aligned} \tau_{rr} &= 2 \left( \mu_p + \frac{\tau_y}{\dot{\gamma}} \right) \frac{\partial u}{\partial r}, & \tau_{r\theta} &= \left( \mu_p + \frac{\tau_y}{\dot{\gamma}} \right) \left( \frac{1}{r} \frac{\partial u}{\partial \theta} + \frac{\partial v}{\partial r} - \frac{v}{r} \right), & \tau_{rz} &= \left( \mu_p + \frac{\tau_y}{\dot{\gamma}} \right) \left( \frac{\partial u}{\partial z} + \frac{\partial w}{\partial r} \right), \\ \tau_{\theta\theta} &= 2 \left( \mu_p + \frac{\tau_y}{\dot{\gamma}} \right) \left( \frac{1}{r} \frac{\partial v}{\partial \theta} + \frac{u}{r} \right), & \tau_{\theta z} &= \left( \mu_p + \frac{\tau_y}{\dot{\gamma}} \right) \left( \frac{1}{r} \frac{\partial w}{\partial \theta} + \frac{\partial v}{\partial z} \right), & \tau_{zz} &= 2 \left( \mu_p + \frac{\tau_y}{\dot{\gamma}} \right) \frac{\partial w}{\partial z} \end{aligned} \quad (1)$$

( $\tau_{r\theta} = \tau_{\theta r}$ ,  $\tau_{rz} = \tau_{zr}$ ,  $\tau_{\theta z} = \tau_{z\theta}$ ). Тогда второй инвариант тензора скоростей деформаций записывается следующим образом:

$$\begin{aligned} \dot{\gamma} &= \left[ 2 \left( \frac{\partial u}{\partial r} \right)^2 + \left( \frac{\partial v}{\partial r} + \frac{1}{r} \frac{\partial u}{\partial \theta} - \frac{v}{r} \right)^2 + \left( \frac{\partial u}{\partial z} + \frac{\partial w}{\partial r} \right)^2 + \right. \\ &\quad \left. + 2 \left( \frac{1}{r} \frac{\partial v}{\partial \theta} + \frac{u}{r} \right)^2 + \left( \frac{1}{r} \frac{\partial w}{\partial \theta} + \frac{\partial v}{\partial z} \right)^2 + 2 \left( \frac{\partial w}{\partial z} \right)^2 \right]^{1/2}. \end{aligned}$$

Уравнения, описывающие течение жидкости Бингама — Папанастасиу над вращающимся диском, в цилиндрической системе координат имеют вид

$$\frac{\partial u}{\partial r} + \frac{u}{r} + \frac{\partial w}{\partial z} = 0; \quad (2)$$

$$\rho \left( u \frac{\partial u}{\partial r} - \frac{v^2}{r} + w \frac{\partial u}{\partial z} \right) = -\frac{\partial p}{\partial r} + \frac{\partial \tau_{rr}}{\partial r} + \frac{\partial \tau_{zr}}{\partial z} + \frac{\tau_{rr} - \tau_{\theta\theta}}{r}; \quad (3)$$

$$\rho \left( u \frac{\partial v}{\partial r} + \frac{uv}{r} + w \frac{\partial v}{\partial z} \right) = \frac{\partial \tau_{r\theta}}{\partial r} + \frac{\partial \tau_{z\theta}}{\partial z} + 2 \frac{\tau_{r\theta}}{r}; \quad (4)$$

$$\rho \left( u \frac{\partial w}{\partial r} + w \frac{\partial w}{\partial z} \right) = -\frac{\partial p}{\partial z} + \frac{\partial \tau_{rz}}{\partial r} + \frac{\partial \tau_{zz}}{\partial z} + \frac{\tau_{rz}}{r}. \quad (5)$$

Задача решается при следующих краевых условиях:

$$\begin{aligned} z = 0: & \quad u = 0, \quad v = r\Omega, \quad w = 0, \\ z \rightarrow \infty: & \quad u \rightarrow 0, \quad v \rightarrow 0, \quad w \rightarrow 0, \quad P \rightarrow 0. \end{aligned}$$

Для записи уравнений движения в безразмерных переменных используются преобразования [5]

$$f(\xi) = \frac{u}{r\Omega}, \quad g(\xi) = \frac{v}{r\Omega}, \quad h(\xi) = \frac{w}{\sqrt{\nu\Omega}}, \quad P(\xi) = \frac{p}{\rho\nu\Omega}, \quad \xi = \sqrt{\frac{\Omega}{\nu}} z, \quad \text{Re} = \frac{\Omega r^2}{\nu_p}, \quad (6)$$

где функции  $f$ ,  $g$ ,  $h$  — безразмерные радиальная, тангенциальная и осевая компоненты вектора скорости;  $\xi$  — безразмерная координата  $z$ ;  $\text{Re}$  — число Рейнольдса;  $\nu_p = \mu_p/\rho$  — кинематическая пластическая вязкость;  $P$  — безразмерное динамическое давление в жидкости.

С использованием переменных [12] уравнения неразрывности и движения (2)–(5) приводятся к обыкновенным дифференциальным уравнениям

$$\begin{aligned}
& 2f + h' = 0, \\
& f'' + \frac{\text{Bn}}{\dot{\gamma}} (1 - e^{-M\dot{\gamma}}) f'' + \frac{2M \text{Bn} e^{-M\dot{\gamma}}}{\dot{\gamma}^2} (3ff'^2 + g'^2 f + f'h'h'') + \\
& \quad + \frac{M \text{Bn} \text{Re} e^{-M\dot{\gamma}}}{\dot{\gamma}^2} (f''f'^2 + f'g'g'') - \frac{2 \text{Bn}}{\dot{\gamma}^3} (1 - e^{-M\dot{\gamma}}) (3ff'^2 + g'^2 f + f'h'h'') - \\
& \quad - \frac{\text{Bn} \text{Re}}{\dot{\gamma}^3} (1 - e^{-M\dot{\gamma}}) (f''f'^2 + f'g'g'') + g^2 - hf' - f^2 = 0, \\
& g'' + \frac{\text{Bn}}{\dot{\gamma}} (1 - e^{-M\dot{\gamma}}) g'' - 2fg + \frac{2M \text{Bn} e^{-M\dot{\gamma}}}{\dot{\gamma}^2} (2ff'g' + g'h'h'') + \\
& \quad + \frac{M \text{Bn} \text{Re} e^{-M\dot{\gamma}}}{\dot{\gamma}^3} (f'g'f'' + g'^2 g'') - \frac{2 \text{Bn}}{\dot{\gamma}^3} (1 - e^{-M\dot{\gamma}}) (2ff'g' + g'h'h'') - \\
& \quad - \frac{\text{Bn} \text{Re}}{\dot{\gamma}^3} (1 - e^{-M\dot{\gamma}}) (f'g'f'' + g'^2 g'') - hg' = 0, \\
& P' + hh' - 2(f' + h'') - \frac{2 \text{Bn}}{\dot{\gamma}} (1 - e^{-M\dot{\gamma}}) (f' + h'') - \frac{4M \text{Bn} e^{-M\dot{\gamma}}}{\dot{\gamma}^2} (2ff'h' + h'^2 h'') + \\
& \quad + \frac{4 \text{Bn}}{\dot{\gamma}^3} (1 - e^{-M\dot{\gamma}}) (2ff'h' + h'^2 h'') - \frac{M \text{Bn} \text{Re} e^{-M\dot{\gamma}}}{\dot{\gamma}^3} (f'^3 + f'g'^2 + 2f'h'f'' + h'g'g'') + \\
& \quad + \frac{\text{Bn} \text{Re}}{\dot{\gamma}^3} (f'^3 + f'g'^2 + 2f'h'f'' + h'g'g'') = 0,
\end{aligned}$$

краевые условия записываются в виде

$$f(0) = 0, \quad g(0) = 1, \quad h(0) = 0, \quad P(0) = 0, \quad f(\infty) = 0, \quad g(\infty) = 0,$$

где  $\dot{\gamma} = \sqrt{4f^2 + \text{Re}(f'^2 + g'^2) + 2h'^2}$ ;  $M = m\Omega$  — параметр продолжения;  $\text{Bn} = \tau_y/(\mu_p\Omega)$  — число Бингама.

Радиальный  $C_f$  и тангенциальный  $C_g$  коэффициенты локального поверхностного трения вычисляются по формулам

$$C_f = \left. \frac{\tau_{rz}}{\mu_p\Omega} \right|_{z=0}, \quad C_g = \left. \frac{\tau_{rz}}{\mu_p\Omega} \right|_{z=0}.$$

С использованием (1), (6) выражения для коэффициентов локального поверхностного трения записываются в следующем виде:

$$\begin{aligned}
\text{Re}^{-1/2} C_f &= \left( 1 + \frac{\text{Bn} (1 - e^{-M\sqrt{4(f(0))^2 + \text{Re}((f'(0))^2 + (g'(0))^2) + 2(h'(0))^2}})}{\sqrt{4(f(0))^2 + \text{Re}((f'(0))^2 + (g'(0))^2) + 2(h'(0))^2}} \right) f'(0), \\
\text{Re}^{-1/2} C_g &= \left( 1 + \frac{\text{Bn} (1 - e^{-M\sqrt{4(f(0))^2 + \text{Re}((f'(0))^2 + (g'(0))^2) + 2(h'(0))^2}})}{\sqrt{4(f(0))^2 + \text{Re}((f'(0))^2 + (g'(0))^2) + 2(h'(0))^2}} \right) g'(0).
\end{aligned}$$

**2. Результаты численных расчетов и их обсуждение.** В таблице приведены вычисленные значения радиального и тангенциального коэффициентов поверхностного трения.

Модель жидкости Бингама — Папанастасиу представляет интерес, поскольку характер течения жидкости, описываемого этой моделью, зависит от двух основных параметров. В случае если число Бингама  $\text{Bn} = 0$  или параметр продолжения  $M = 0$ , жидкость становится вязкой. При  $M \rightarrow \infty$  данная модель переходит в модель пластической среды Бингама. В настоящей работе исследуются эти особенности модели Бингама — Папанастасиу.

Значения радиального и тангенциального коэффициентов поверхностного трения при  $Re = 10$  и различных значениях  $Bn, M$

$Bn$	$M$	$Re^{-1/2} C_f$	$Re^{-1/2} C_g$
10	1	1,3630	1,5773
20		1,8846	2,2816
30		2,2416	2,8502
40		2,4903	3,3722
50		2,6637	3,8825
10	10	1,6466	3,4672
	20	1,4979	4,1659
	30	1,4010	4,3415
	40	1,2438	4,4204
	50	1,1529	4,4624

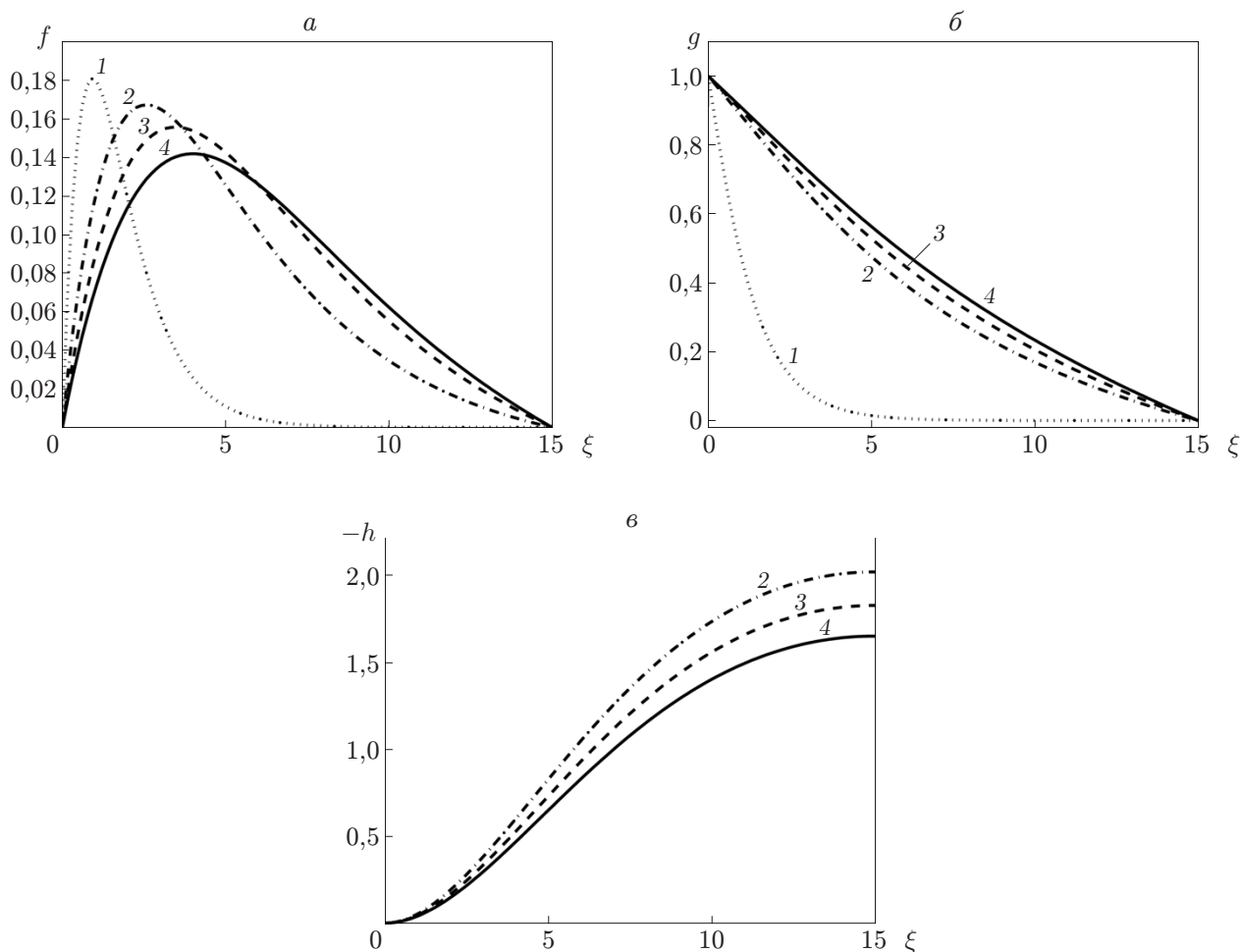


Рис. 2. Зависимости радиальной (а), тангенциальной (б) и осевой (в) составляющих вектора скорости от координаты  $\xi$  при различных значениях числа Бингама:

1 —  $Bn = 0$ , 2 —  $Bn = 10$ , 3 —  $Bn = 20$ , 4 —  $Bn = 30$

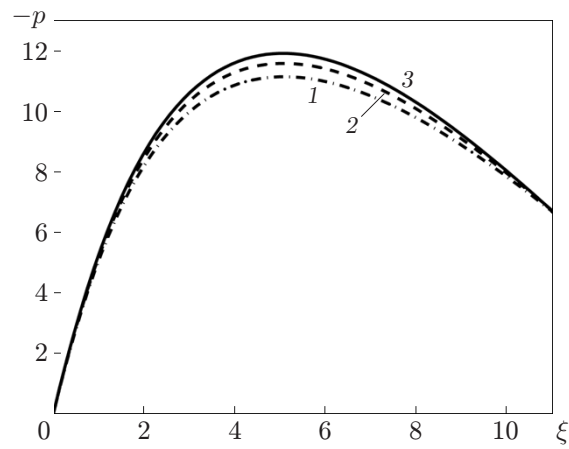


Рис. 3. Зависимость давления от координаты  $\xi$  при различных значениях числа Бингама:  
 1 —  $Bn = 10$ , 2 —  $Bn = 20$ , 3 —  $Bn = 30$

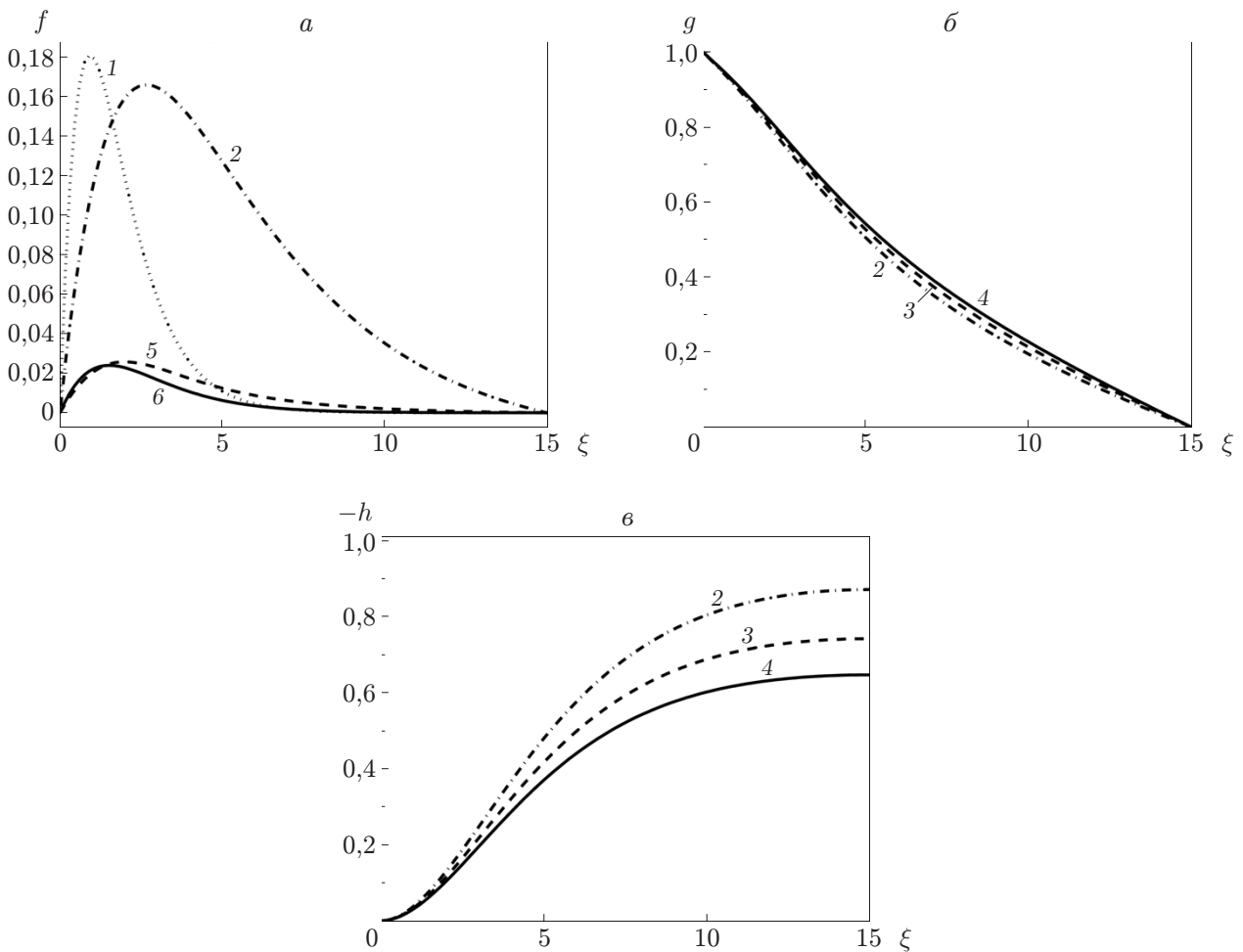


Рис. 4. Зависимости радиальной (*a*), тангенциальной (*б*) и осевой (*в*) составляющих вектора скорости от координаты  $\xi$  при различных значениях параметра продолжения  $M$ :  
 1 —  $M = 0$ , 2 —  $M = 1$ , 3 —  $M = 2$ , 4 —  $M = 3$ , 5 —  $M = 30$ , 6 —  $M = 900$

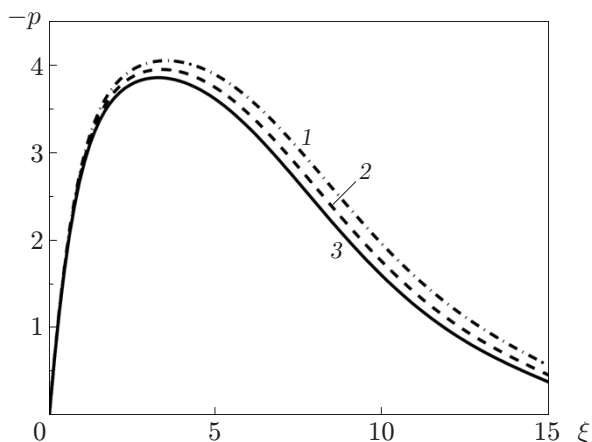


Рис. 5. Зависимость давления от координаты  $\xi$  при различных значениях параметра продолжения  $M$ :

1 —  $M = 1$ , 2 —  $M = 2$ , 3 —  $M = 3$

На рис. 2 приведены зависимости радиальной, тангенциальной, осевой компонент вектора скорости от координаты  $\xi$  при различных значениях числа Бингама. Видно, что с увеличением числа Бингама радиальная и осевая компоненты уменьшаются, тангенциальная составляющая вектора скорости увеличивается. На рис. 3 аналогичная зависимость приведена для давления. На рис. 2,а,б зависимости при  $Bn = 0$  соответствуют вязкой жидкости.

На рис. 4, 5 приведены зависимости радиальной, тангенциальной, осевой компонент вектора скорости и давления от координаты  $\xi$  при различных значениях параметра  $M$ . Радиальная и осевая составляющие вектора скорости, а также давление увеличиваются при увеличении параметра  $M$ , тангенциальная составляющая вектора скорости уменьшается. На рис. 4,а приведена зависимость для случая вязкой жидкости ( $M = 0$ ) и для случая пластической среды Бингама ( $M \rightarrow \infty$ ). В последнем случае в численных расчетах полагалось, что  $M = 900$ .

Данные, приведенные в таблице, свидетельствуют о том, что радиальный и тангенциальный коэффициенты поверхностного трения увеличиваются с увеличением числа Бингама. С увеличением параметра  $M$  радиальный коэффициент поверхностного трения уменьшается, тангенциальный — увеличивается.

**Заключение.** В работе исследовано течение жидкости Бингама — Папанастасиу над вращающимся диском. С использованием автомодельного решения Кармана система дифференциальных уравнений в частных производных сведена к системе обыкновенных дифференциальных уравнений, решение которых получено численным методом. Показано, что число Бингама и параметр продолжения оказывают существенное влияние на радиальную, тангенциальную, осевую компоненты вектора скорости и давление.

## ЛИТЕРАТУРА

1. Papanastasiou T. C. Flows of materials with yield // J. Rheology. 1987. V. 31, N 5. P. 385–404.
2. Abdali S., Mitsoulis E., Markatos N. Entry and exit flows of Bingham fluids // J. Rheology. 1992. V. 36, N 2. P. 389–407.
3. Mitsoulis E., Marangoudakis S., Spyrtos M., et al. Pressure-driven flows of Bingham plastics over a square cavity // J. Fluids Engng. 2006. V. 128, N 5. P. 993–1003.

4. **Mitsoulis E.** Fountain flow of pseudoplastic and viscoplastic fluids // J. Non-Newtonian Fluid Mechanics. 2010. V. 165, N 1/2. P. 45–55.
5. **Karman T. von.** Über laminare und turbulente Reibung // Z. angew. Math. Mech. 1921. Bd 1, N 4. S. 233–252.
6. **Khan N. A., Aziz S., Khan N. A.** Numerical simulation for the unsteady MHD flow and heat transfer of couple stress fluid over a rotating disk // PLoS One. 2014. V. 9, N 5. e95423.
7. **Hayat T., Nawaz M., Awais M., Obaidat S.** Axisymmetric magnetohydrodynamic flow of Jeffrey fluid over a rotating disk // Intern. J. Numer. Methods Fluids. 2012. V. 70, N 6. P. 764–774.
8. **Rashaida A. A.** Flow of a non-Newtonian Bingham plastic fluid over a rotating disk. Saskatoon: Univ. of Saskatchewan, 2005.
9. **Ahmadpour A., Sadeghy K.** Swirling flow of Bingham fluids above a rotating disk: An exact solution // J. Non-Newtonian Fluid Mech. 2013. V. 197. P. 41–47.
10. **Ahmadpour A., Ghasemi M., Jamali J., Sadeghy K.** On the validity of boundary layer theory for simulating von Karman flows of Bingham fluids // J. Soc. Rheology Japan. 2014. V. 42, N 3. P. 161–167.
11. **Khan N. A., Sohail A., Sultan F.** Effect of anisotropic slip and magnetic field on the flow and heat transfer of Eyring — Powell fluid over an infinite rotating disk // Intern. J. Fluid Mech. Res. 2017. V. 44, N 3. P. 1–17.
12. **Khan N. A., Naz F., Sultan F.** Entropy generation analysis and effects of slip conditions on micropolar fluid flow due to a rotating disk // Open Engng. 2017. V. 7, N 1. P. 185–198.

*Поступила в редакцию 4/X 2017 г.*

---